

ИССЛЕДОВАНИЕ КОНТАКТНОГО ВЗАИМОДЕЙСТВИЯ ДВУХСЛОЙНЫХ ОБОЛОЧЕК

УДК 539.3

И. Г. Емельянов

Институт машиноведения РАН, 620219 Екатеринбург

При решении задач о напряженно-деформированном состоянии многослойных оболочечных конструкций необходимо учитывать условия работы смежных слоев. В основном исследовании посвящены вопросам механики оболочек в предположении об идеальном механическом контакте слоев. Современное состояние и подходы к решению задач теории многослойных оболочек с возможными зонами расслоения отражены в [1].

Цель данной работы — найти подход для решения двухслойных оболочек вращения с учетом возможного одностороннего характера контактного взаимодействия с позиции контактных задач [2, 3]. В [4] рассматривалось взаимодействие ортотропных слоев по известной в одном направлении области контакта. Поверхности разделов слоев моделировались адгезионными прослойками с различными коэффициентами постели, различными толщинами и характером деформирования на отрыв. В данной работе подход [4] обобщается на класс двумерно-контактных задач. В результате предлагаемого решения находятся неизвестная область контакта между слоями в двух направлениях $\widehat{\Omega}_+(s, \theta)$, распределение контактного давления $q(s, \theta)$ и напряженное состояние оболочки в зависимости от действия контактного давления и внешнего нагружения.

Будем считать, что каждый слой двухслойной оболочки описывается своими дифференциальными уравнениями. Предполагается, что слои подчинены геометрически и физически условиям линейной теории оболочек, действуют нулевые напряжения и деформации, постоянное поле температур, контакт между слоями происходит без трения и проскальзывания. При рассмотрении эквидистантных слоев с зазором зазор не должен превышать толщины оболочки, поскольку используется геометрически линейная теория. Исходная система равновесия слоев оболочки, взаимодействующих между собой, имеет вид [5]

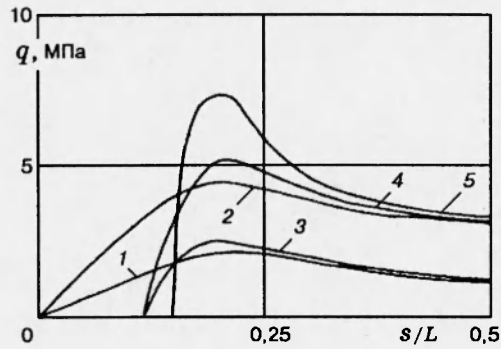
$$\begin{aligned} L^{(i)} \mathbf{Y}^{(i)} &= \mathbf{f}^{(i)} - (-1)^i q \lambda M, \quad i = 1, 2, \\ \lambda(s, \theta \in \Omega_+) &= 1, \quad \lambda(s, \theta \notin \Omega_+) = 0, \end{aligned} \quad (1)$$

где i — номер слоя оболочки; L — матричный дифференциальный оператор; \mathbf{Y} — искомый вектор разрешающих функций; \mathbf{f} — вектор-функция внешней распределенной нагрузки; M — столбец, элемент которого, отвечающий уравнению равновесия в проекции на нормаль к поверхности Ω_+ , равен единице, а остальные элементы — нулю; s, θ — координаты поверхности оболочки по меридиану и окружности.

Для многих моделей оболочек разрешающая система уравнений в системе главных кривизн α, β имеет вид [6]

$$\frac{\partial \mathbf{Y}}{\partial \alpha} = \sum_{m=0}^4 A_m(\alpha, \beta) \frac{\partial^m \mathbf{Y}}{\partial \beta^m} + \mathbf{f}(\alpha, \beta). \quad (2)$$

Здесь матрицы A зависят от геометрических и механических характеристик, а размерность вектора \mathbf{Y} и порядок уравнений m — от выбранной модели оболочки.



где вектор правых частей $\{\hat{B}_P\}_j$ будет находиться путем интегрирования какого-либо слоя оболочки, на котором приложена внешняя нагрузка.

Система уравнений (8) при решении задач с двухсторонними связями (расслоения не происходит) полностью определяет вектор контактных давлений $\{q\} = X_i F^{-1}$, $i = 1, \dots, M$. При решении задач с односторонними связями [8] должно выполняться условие (4), и необходимо найти такую разрешающую систему, чтобы контактное давление было положительным в местах контакта слоев оболочки и равнялось нулю в возможных зонах расслоения. Для нахождения тех неизвестных, которые необходимо исключить, используется метод последовательных приближений, обычно применяемый при решении контактных задач численными методами [5, 9], который заключается в том, что j -е приближение строится с использованием предыдущего ($j - 1$)-го приближения и с учетом отсутствия связи на тех участках, где $X < 0$.

При решении задач для слоев, связанных клеевой прослойкой, при ограниченной работе клеевого соединения на растяжение задача решается так же, как и для системы с односторонними связями, однако условие выключения неработающих связей имеет вид $X_i/F < \sigma_k$ (σ_k — предел прочности клеевого соединения).

Определение напряженно-деформированного состояния рассматриваемой оболочки сводится к интегрированию уравнений для каждого слоя оболочки от внешней нагрузки P и найденной контактной нагрузки [3]:

$$\{Q_\Sigma\} = \{P\} + \{Q\}, \quad \{Q\}_j \in \Omega_+, \quad \{P\} \in \Omega_0$$

(Ω_0 — поверхность оболочки, на которой приложен вектор внешней нагрузки).

Поскольку функция суммарной нагрузки $\{Q_\Sigma\}$, установленная на множестве контактных элементов, периодическая с периодом $2M$ и четная, ее можно разложить в ряд Фурье по косинусам [2, 10]. Коэффициенты разложения для каждого j -го кольца имеют вид

$$a_k^{(j)} = \frac{2}{M} \left[\frac{1}{2} q_{\Sigma 0}^{(j)} + \sum_{i=1}^{M-1} q_{\Sigma i}^{(j)} \cos \frac{\pi k}{M} i + \frac{1}{2} (-1)^k q_{\Sigma M}^{(j)} \right], \quad b_k^{(j)} = 0.$$

В качестве примера для иллюстрации предлагаемого метода рассматривалось взаимодействие соосных цилиндрических оболочек одинаковой длины ($L = 0,1524$ м) и одинаковой толщины ($h = 0,254 \cdot 10^{-2}$ м). Данная задача взаимодействия не связанных между собой оболочек (слоев) рассматривалась в работах [5, 11]. Две жесткозакрепленные оболочки (радиус внутренней оболочки $R_2 = 0,0762$ м) расположены с зазором $\Delta_R = 0,0127 \cdot 10^{-2}$ м. Внутренняя оболочка нагружена давлением $p = 20,67$ МПа. Материал оболочек изотропный с модулем упругости $E = 2,1 \cdot 10^5$ МПа и коэффициентом Пуассона $\nu = 0,3$. Угол

Таблица 1

K	M					
	1	2	3	4	5	6
	q, МПа					
1	0,7373	0	0	0,6721	0	0
2	2,6450	0	0	0,2469	0	0
3	5,2840	0	0	0,4716	0	0
4	8,8920	0	0	0,6646	0	0
5	12,33	0	0	0,7784	0	0
6	12,33	0	0	0,7752	0	0
7	8,884	0	0	0,6586	0	0
8	5,273	0	0	0,4640	0	0
9	2,636	0	0	0,2413	0	0
10	0,7352	0	0	0,6580	0	0

Таблица 2

K	M					
	1	2	3	4	5	6
	q, МПа					
1	0,734	-0,221	-0,217	0,655	-0,0003	-0,0068
2	2,634	-0,8757	-0,6981	0,2404	-0,008	-0,023
3	5,266	-1,892	-1,148	0,4618	-0,0286	-0,0404
4	8,870	-3,026	-1,445	0,6542	-0,05497	-0,054
5	12,31	-3,822	-1,594	0,767	-0,07451	-0,062

разбиения по окружности $\Delta\theta = 30^\circ$.

При решении данной задачи число разбиений оболочек по окружности N не принципиально. Однако увеличение числа разбиений оболочек по меридиану K лучше иллюстрирует краевой эффект. Проведено решение для двух значений длины контактного элемента по меридиану a_s . В первом случае половина области Ω аппроксимируется 60 контактными элементами площадью $F = a_\theta a_s = 3,99 \cdot 1,524 = 6,08 \text{ см}^2$. Следовательно, порядок матрицы в (6) $M = 6$, в (7) $K = 10$. Поскольку внешнее нагружение и зазор осесимметричны, а также задача имеет симметрию относительно сечения $s = 0,5L$, контактное давление q получается осесимметричным и приводится для четверти области Ω .

На рисунке показано распределение контактного давления по меридиану оболочки. Кривые 1, 2 соответствуют расчету с коэффициентом постели $C = 100C_p$ и $500C_p$ ($C_p = 10^8 \text{ Н/м}^3$ отвечает упругим свойствам вакуумной резины [9]), 3, 4 — уточненному положению кривых 1 и 2, полученных при решении задачи с более мелким шагом по меридиану, с контактными элементами площадью $F = a_\theta a_s = 3,99 \cdot 0,762 = 3,04 \text{ см}^2$ ($M = 6$, $K = 20$), кривая 5 — численное решение [5]. Близкое решение данной задачи к решению по предлагаемой методике получено аналитически в работе [11].

В табл. 1 приведено распределение контактного давления q в МПа по окружности ($M = \overline{1, 6}$) и меридиану ($K = \overline{1, 10}$) для неосесимметричного нагружения двухслойной

оболочки (без зазора). Внешним нагружением служит сила $P = 10000$ Н, распределенная на площадке $F_p = a_\theta 2a_s$, с центром в $s = L/2$, $\theta = 0$, приложенная к внешнему слою. Решение найдено при $F = 6,08$ см² и $C = C_p$. Косвенным подтверждением правильности вычислений является симметрия решения относительно сечения $s = 0,5L$. Принятый при расчете коэффициент постели C , имитирующий микронеровности контактирующих поверхностей, а также упругие свойства клеевой прослойки и предел прочности клеевого соединения $\sigma_k = 0$, обеспечивает контактирование в месте приложения локальной силы P ($K = 5$, 6 и $M = 1$) и образование сложных зон расслоения.

В табл. 2 показано распределение q (межслоевого напряжения) для безотрывной работы слоев. Из приведенных результатов следует, что данный расчетный случай может реализовываться, когда предел прочности клеевого соединения на отрыв $\sigma_k > 3,822$ МПа ($K = 5$, $M = 2$).

Таким образом, предложенный подход и его реализация с использованием устойчивых численных методов позволяют определять межслоевые напряжения в оболочках слоистой структуры, неизвестные в двух направлениях зоны расслоения и учитывать неоднородные адгезионные прослойки, односторонний характер взаимодействия слоев, анизотропию материала.

ЛИТЕРАТУРА

1. Григолюк Э. И., Коган Е. А., Мамай В. И. Проблемы деформирования тонкостенных слоистых конструкций с расслоениями // Изв. РАН. МТТ. 1994. № 2. С. 6–32.
2. Емельянов И. Г. Численный анализ контактного взаимодействия цилиндрических оболочек // Прикл. механика. 1987. Т. 23, № 6. С. 68–72.
3. Василенко А. Т., Емельянов И. Г. Контактная задача для тонкой цилиндрической оболочки, лежащей на круговом основании // Пробл. прочности. 1990. № 6. С. 81–86.
4. Василенко А. Т., Емельянов И. Г. Исследование контактного взаимодействия слоев в оболочках вращения // Изв. РАН. МТТ. 1994. № 3. С. 158–163.
5. Кантор Б. Я. Контактные задачи нелинейной теории оболочек вращения. Киев: Наук. думка, 1990.
6. Григоренко Я. М., Василенко А. Т. Методы расчета оболочек. В 5 т. Киев: Наук. думка, 1981. Т. 4. Теория оболочек переменной жесткости.
7. Амбарцумян С. А. Общая теория анизотропных оболочек. М.: Наука, 1974.
8. Рабинович И. М. Вопросы теории статического расчета сооружений с односторонними связями. М.: Стройиздат, 1975.
9. Моссаковский В. И., Гудрамович В. С., Макеев Е. М. Контактное взаимодействие элементов оболочечных конструкций. Киев: Наук. думка, 1988.
10. Хемминг Р. В. Численные методы. М.: Наука, 1968.
11. Kulkarni S. V., Frederick D. The contact problem of two coaxial cylindrical shell // Int. J. Mech. Sci. 1973. V. 15, N 5. P. 367–379.

Поступила в редакцию 29/VIII 1994 г.,
в окончательном варианте — 19/I 1995 г.